

## Određivanje zrnatosti fotografiskih slojeva

I. BROZ i K. WEBER

Fotografska praksa i teorija razlikuju dvije vrste »zrna«. Nerazvijena i razvijena zrna. Nerazvijena zrna su kristali srebrnih halogenida dispergiranih u želatinu, koji tvore t. zv. »fotografsku emulziju«. Razvijena zrna su kristali ili kristalinične nakupine metalnog srebra, koje nastaju redukcijom iz srebrnih halogenida utjecajem razvijajuća. Veličina i broj razvijenih zrna zavisiće prije svega o veličini i broju zrna u nerazvijenom fotografskom sloju, a osim toga o načinu osvjetljavanja, procesu razvijanja i naknadnoj obradbi fotografskog sloja. Činjenica, da se na razvijenom fotografskom negativu materijalu primjećuje već pri slabom povećanju zrnata struktura, nazivamo pojmom z r n a t o s t i . Kod procesa razvijanja zrno (kristal) srebrnog halogenida znatno se deformira, tako da razvijeno zrno poprima sasvim drugi oblik i strukturu, a stepen ove deformacije ovisi o sastavu razvijajuća, te o temperaturi i o vremenu razvijanja. Pojedini kristali elementarnog srebra u negativu, koji imaju većinom štapičasto-nitasti oblik, mogu se spajati međusobno u veća klupka ili nakupine srebra. Stvaranjem takovih nakupina mijenja se oblik i veličina zrna razvijenog sloja, a zbog toga zrnatost tih slojeva nije uvjetovana samo veličinom i brojem pojedinih kristala srebra, već je ovisna, naročito kod većih gustoća zacrnjenja, i o veličini, obliku i broju tih nakupina.

Kao mjerilo za zrnatost često se upotrebljava fizikalna veličina, koja je u vezi sa Callier-ovim kvocijentom. Poznato je da brojčane vrijednosti gustoće zacrnjenja fotografiskih slojeva ovise u stanovitoj mjeri i o načinu mjerjenja, pa se zbog toga razlikuju vrijednosti gustoće zacrnjenja mjerene u paralelno usmjerrenom svjetlu ( $D_{\parallel}$ ), od gustoće zacrnjenja mjerene u difuznom svjetlu ( $D_{\perp}$ ). Omjer tih dviju veličina daje Callier-ov kvocijent:

$$Q = \frac{D_{\parallel}}{D_{\perp}} \quad \dots \quad (1)$$

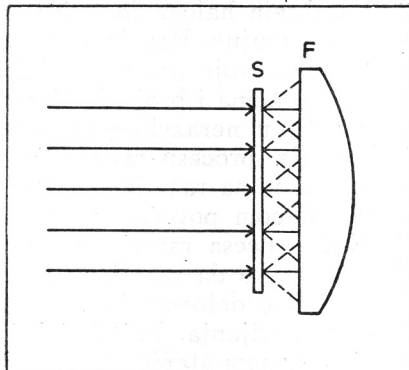
Vrijednosti gustoće zacrnjenja u difuznom svjetlu dobivaju se na taj način, da se kod mjerjenja receptor fotometra nalazi neposredno iza fotografiskog sloja tako, da on registrira svu količinu svjetla, koju propušta sloj, t. j. difuzno raspršeno svjetlo, u kojem su sadržani svi smjerovi svjetla, dakle i paralelno usmjereno svjetlo (Sl. 1.). Ako se fotometar pomakne do izvjesne udaljenosti od mjerenog fotografiskog sloja, to će on registrirati samo onaj dio svjetla koji prođe kroz mjereni sloj, koji je paralelno usmjerjen, budući da ostali dio svjetla zbog raspršavanja ne dolazi do fotometra (Sl. 2).

Brojčane vrijednosti  $D$  veće su od  $D_{\perp}$ , što je u vezi sa zrnatom strukturom sloja, tako da je i kvocijent tih dviju veličina veći od 1. Threadgold je predložio da se Callier-ov kvocijent uzme kao mjera za zrnatost.

Taj prijedlog prihvatili su J. Eggert i A. Küster i ostvarili su praktički tu ideju. Oni su definirali zrnatost slijedećom jednодžbom:

$$K = 100 \log Q = 100 \log \frac{D_{\parallel}}{D_{\perp}} \quad . . . . . \quad (2)$$

kod čega su uzeli onu vrijednost zacrnjenja  $D_{\parallel}$ , koja odgovara vrijednosti  $D_{\perp} = 0,5$ . Prema tome većim vrijednostima Callier-ovog kvocijenta odgovaraju i veće vrijednosti zrnatosti.



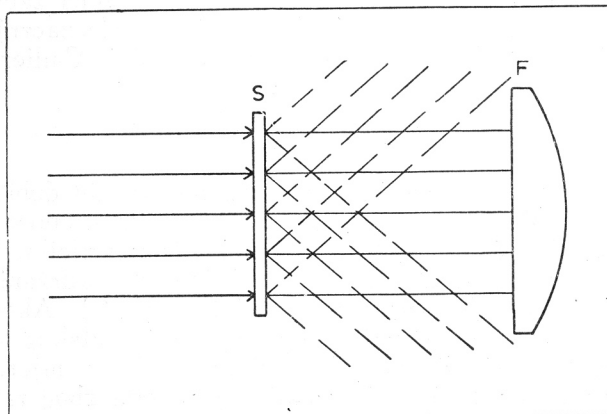
Sl. 1. Shema fotometarskog uređaja. Fotoelement se nalazi u neposrednoj blizini mjerenoj sloja.  
S fotosloj; F fotoelement

Abb. 1. Schema der Photometeranordnung. Das Photoelement befindet sich unmittelbar hinter der Negativschicht. S Photoschicht; F Photoelement.

Iz jednadžbe, koja nam daje brojčane vrijednosti za zrnatost, može se dalje izračunati srednji promjer razvijenog zrna, kao i broj zrna na  $1 \text{ cm}^2$  razvijenog sloja. Jednadžba za promjer zrna glasi:

$$d = 0,068 K = 6,8 \log \frac{D_{\parallel}}{D_{\perp}} \quad . . . . . \quad (3)$$

a za broj zrna na jedinici površine



Sl. 2. Druga shema fotometarskog uređaja. Fotoelement se nalazi u većoj udaljenosti od mjerenoj sloja.

Abb. 2. Zweites Schema der Photometeranordnung. Das Photoelement befindet sich in grösserer Entfernung von der Negativschicht.

$$z = 2,43 \frac{D_{\#}}{d^2} = 630 \frac{D_{\#}}{K^2} \quad \dots \quad (4)$$

Jednadžba za veličinu srednjeg promjera zrna daje vrijednosti u mikronima. U jednadžbi za broj zrna veličina srednjeg promjera zrna uzima se u centimetrima jer se  $z$  odnosi na plohu od  $1 \text{ cm}^2$ .

Brojčane vrijednosti zrnatosti ovisne su u priličnoj mjeri još i o dužini vala svjetla, koje prolazi kroz sloj kod promatranja ili mjerjenja. Navedene jednadžbe za zrnatost, promjer zrna i broj zrna vrijede samo u tom slučaju, ako je mjereno aparaturom (granulometrom), kod koje djeluje pretežno infracrveno svjetlo, a kao fotometar služi cezijeva fotostanica. Ako se mjerena vrše na vizuelnom granulometru ili aparaturi sa selenovim fotoelementom, dobivaju se druge vrijednosti. Selenov fotoelement imade praktično istu spektralnu osjetljivost kao i ljudsko oko, zbog čega vizuelni granulometri i aparature sa selenovim fotoelementom daju uvijek iste vrijednosti za zrnatost. Zbog toga se razlikuje »fotoelektrična« (infracrvena) zrnatost  $K_f$  od »vizuelne«  $K_v$ . Prema J. Eggert-u i A. Küster-u postoji između ovih dviju veličina slijedeći odnos:

$$K_v = 1,24 K_f + 8 \quad \dots \quad (5)$$

Iz ove relacije slijedi da jednadžba za izračunavanje srednjeg promjera zrna ima ovaj oblik

$$d = 0,052 K_v - 0,23 \quad \dots \quad (6)$$

Zadatak, koji smo si postavili u vezi ove tematike sastoji se u slijedećem:

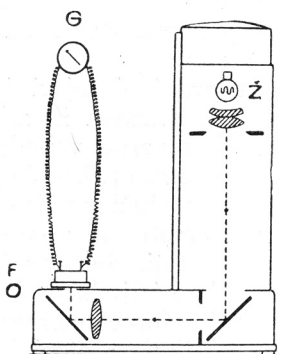
1. Sastaviti aparaturu pomoću koje će biti omogućeno mjerjenje vizuelne zrnatosti. (Za vizuelni granulometar smo se odlučili zbog toga, što nismo raspolagali sa izvorom infracrvenog svjetla odnosno cezijeve fotostanice i jer je za praktičnu fotografiju veličina  $K_v$  svakako značajnija od  $K_f$ ).
2. Ispitati uvjete mjerena na takvoj aparaturi.
3. Mjeriti Callier-ov kvocijent raznih negativ materijala da bi se dobio uvid odnosa zrnatosti, veličine zrna i broja zrna.

#### EKSPERIMENTALNI DIO

Mi smo za mjerjenje zrnatosti upotrebljavali fotoelektrički fotometar, kojega smo sastavili kombinacijom Zeiss-ovog »Ultrafot« kamere-mikroskopa, fotoelementa i Multiflex-galvanometra (B. Lange, tip MG-2) velike osjetljivosti, te ampermetra. Vrijednosti gustoće zacrnjenja u difuzno raspršenom svjetlu dobili smo na taj način (Sl. 3), što se fotoelement nalazi neposredno nad mjerenim slojem, a vrijednosti gustoće zacrnjenja u paralelno usmijerenom svjetlu premještanjem fotoelementa na visinu od 20 cm. (Sl. 4). Budući da se promjenom jakosti struje mijenja i intenzitet svjetla, a to svakako utječe na veličine mjerena gustoća zacrnjenja, uključili smo u aparaturu ampermetar radi kontrole jakosti struje.

Za mjerjenje Callier-ovog kvocijenta uzeli smo 4 razna negativ materijala: Agfa Isopan FF ( $10/10^0$  DIN), Agfa Isopan F ( $17/10^0$  DIN), Agfa Isopan SS ( $21/10^0$  DIN) i Agfa Isopan U ( $24/10^0$  DIN). Svi navedeni ma-

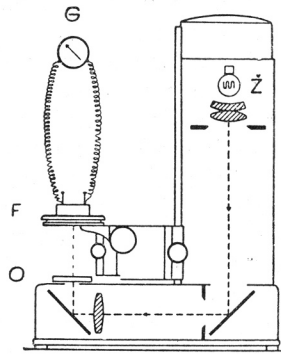
terijali bili su filmovi širine 35 mm, pakirani za amatersku upotrebu. Ove negativ materijale izabrali smo radi toga, jer predstavljaju razne tipove emulzija, od slabo osjetljivih do visoko osjetljivih. Poznato je, da negativ



Sl. 3. Shematska slika aparature za mjerene gustoće zacrnjenja u difuzno raspršenom svijetlu.  
F fotoelement; O mjereni sloj; G galvanometar; Ž žarulja ultrafot-mikroskopa

Abb. 3. Schematisches Bild der Apparatur zur Messung der photographischen Dichte im diffus-zerstreuten Licht. F Photoelement; O Negativschicht; G Galvanometer; Ž Glühlampe des Ultraphot-Mikroskops.

Sl. 4. Shematska slika aparature za mjerene gustoće zacrnjenja u paralelnu usmjereno svijetlu.  
Abb. 4. Schematisches Bild der Apparatur zur Messung der photographischen Dichte im parallel-gerichteten Licht.



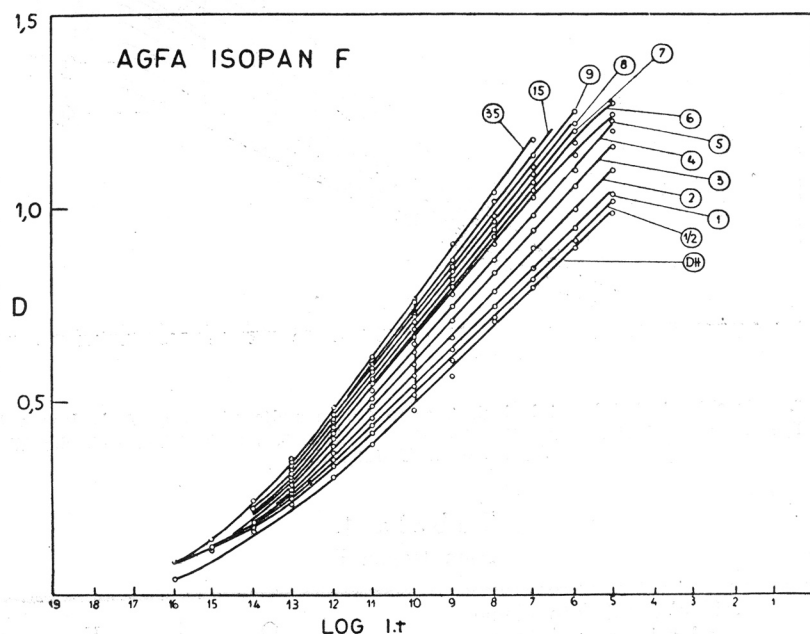
materijali velike osjetljivosti imadu i veću zrnatost od onih niže osjetljivosti. Da bi se izbjegao utjecaj razvijača, temperature i vremena razvijanja, svi navedeni materijali razvijani su u istom razvijaču kod iste temperature i jednakim vremenima razvijanja. U literaturi o zrnatosti navodi se gotovo svugdje, da je uobičajeno određivati Callier-ov kvocijent kod gustoće zacrnjenja  $D_+ = 0.5$ . Zbog toga smo navedene materijale osvjetljivali na Scheiner-ovom sektorskem kotaču, pa smo poslije razvijanja dobili stepenaste sive klinove. Ekspozicija se je za pojedine materijale udesila tako, da su se uz različito vrijeme razvijanja dobivena zacrnjenja kretala oko  $D_+ = 0.5$ . Od svakog navedenog materijala osvjetljeno je po 6 komada, koji su onda razvijani u vremenima: 4, 8, 12, 16, 20 i 24 min. Proces razvijanja vršio se strogo po senzitometrijskim pravilima. Svi materijali razvijani su u razvijaču Agfa-17, kod temperature  $19^\circ\text{C}$  ( $\pm 0.5^\circ\text{C}$ ) u potpunom mraku. Razvijanje vršilo se pomoću šesterostранe prizme, na čijim stranama su bili pričvršćeni odresci filmova duljine cca 13 cm, i posude u obliku valjka. Prizma sa filmovima stavila se je u valjak sa razvijajućem, lagano pomicala rukom iz lijeva u desno i obratno\*).

Iz ovako pripremljenih stepenastih sivih klinova imali smo mogućnost mjerena Callie-r-ovog kvocijenta i iz toga zaključiti:

1. Kako se mijenja zrnatost i veličina zrna raznim vremenima razvijanja.
2. Kako se odnose zrnatosti i veličine zrna materijala raznih osjetljivosti razvijanih ali u istom razvijaču, isto vrijeme, kod iste temperature i pod istim okolnostima.

\*) Razvijanje je izvršeno prema metodi senzitometrijskog razvijanja koju je razradio K. Kempni.

Prije nego li smo prešli na samo mjerjenje Callier-ovog kvocijenta materijala, kojega smo pripremili, izvršili smo dva mjerjenja zbog ispitivanja uvjeta mjerjenja na našem granulometru. Kao prvo mjerili smo  $D_+$  tako, da smo fotoelement položili na ispitivani sloj, a zatim smo fotoelement podizali u vis da ustanovimo onu udaljenost sloja od fotoelementa, kod koje na fotoelement dolazi isključivo paralelno usmjereno svjetlo tako, da je mjerena vrijednost gustoće zacrnjenja pretstavlja  $D_-$ . Fotoelement je podizan uvis točno po okomici bez i najmanjeg pomicanja iz pravca okomice. Za ovo mjerjenje uzeli smo stepenasti sivi klin Agfa

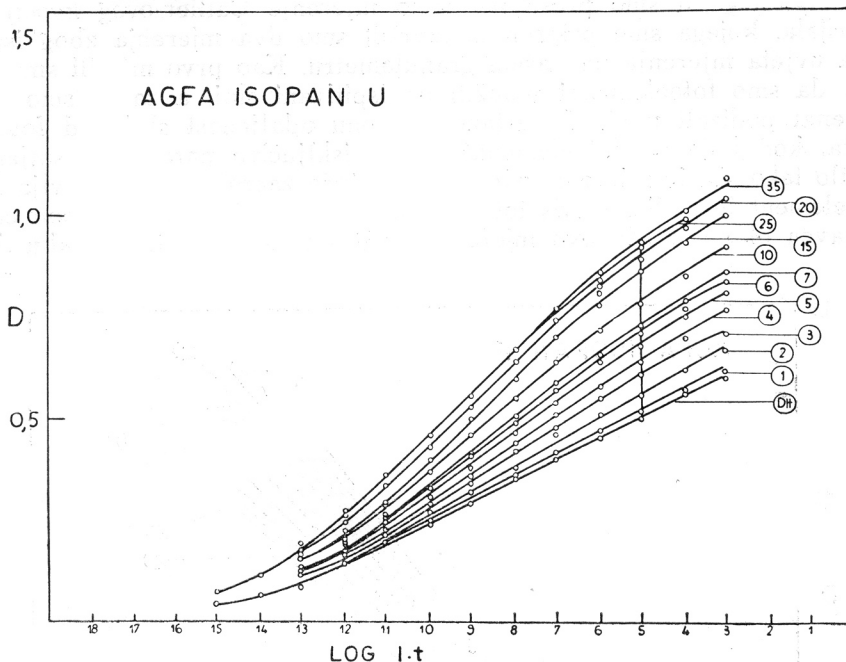


Sl. 5. Krivulje zacrnjenja stepenastog sivog klina Agfa Isopan F (razvijan 12 min.) dobivene mjerjenjem gustoće zacrnjenja kod raznih udaljenosti fotoelementa od mjerene sloja. Brojevi uz krivulje znače udaljenost fotoelementa od mjerene sloja u centimetrima. Ordinata: Vrijednosti gustoće zacrnjenja ( $D$ ). Apscisa: Logaritam ekspozicije (log. I. t)

Abb. 5. Schwärzungskurven eines grauen Stufenkeiles auf Agfa Isopan F-Material (entwickelt 12 Min.), die durch Messungen der Dichten bei verschiedener Entfernung des Photoelements von der Negativschicht erhalten wurden. Die Zahlen der Kurven geben die Entfernung des Photoelements von der Negativschicht in cm an. Ordinate: Schwärzungsdichten ( $D$ ); Apscisse: Logarithmus der Exposition (log. I. t)

Isopan F dobiven razvijanjem od 12 min., i stepenasti sivi klin Agfa Isopan U također od 12 min. razvijanja. Grafički prikazi rezultata fotometriranja vide se na slikama 5 i 6. Iz ovih grafikona odredili smo grafičkom metodom Callier-ov kvocijent za pojedinačne vrijednosti mjerjenja (uvijek za  $D_+ = 0,5$ )

U tabelama 1 i 2 dajemo pregled dobivenih vrijednosti za Callier-ov kvocijent i zrnatost.



Sl. 6. Opis slike je isti kao i kod sl. 5, samo što se ovdje odnosi na Agfa Isopan U.  
 Abb. 6. Die Bildunterschriftung ist dieselbe wie bei Abb. 5, nur beziehen sich die Werte auf Agfa Isopan U-Material.

**T a b e l a 1.**  
**Agfa Isopan F**

Udaljenost foto elementa od mjerenog sloja u cm.	Q	K
0,5	1,05	2,12

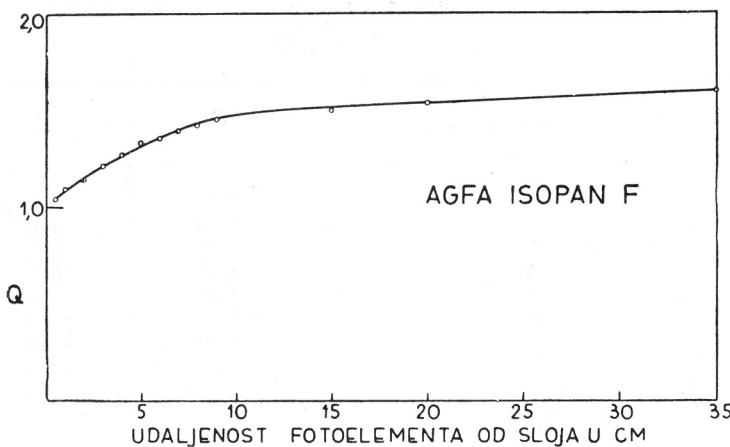
T a b e l a 2.  
Agfa Isopan U

Udaljenost fotoelementa od mjerenuog sloja u cm.	Q	K
1	1,08	3,34
2	1,12	4,92
3	1,22	8,64
4	1,28	10,72
5	1,38	13,99
6	1,43	15,53
7	1,47	16,73
10	1,58	19,87
15	1,72	23,55
20	1,80	25,53
25	1,84	26,48
35	1,87	27,18

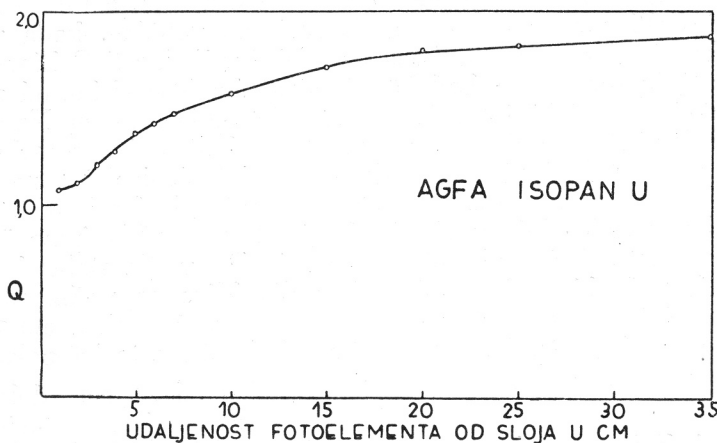
nog sloja u vis rastu i vrijednosti gustoća zacrnjenja, a time i numerička vrijednost Callier-ovog kvocijenta do izvjesne veličine, kada vrijednosti postanu konstantne. Kod grafikona na slici 7 vrijednosti Callier-ovog kvocijenta postaju konstantne, kad fotoelement dospire visinu od cca 15 cm. Kod grafikona na slici 8 to se događa u visini od cca 20 cm. Na osnovu tih podataka izvršili smo daljnja mjerena  $D_{\mu}$  kod visine fotoelementa od 20 cm. Prigovor, koji bi mogao doći u vezi činjenice, što na grafikonu na slici 8 veličine  $D_{\mu}$  postaju strogo konstantne kod udaljenosti fotoelementa od mjerenuog sloja u visini od cca 25 cm., otklanjamo činjenicom, što bi intenzitet svjetla, ako bi se mjerena  $D_{\mu}$  vršila stalno kod 25 cm., toliko slabio, da bi se kod mjerena polja klina sa većim zacrnjenjem morao povećati i intenzitet svjetla žarulje povećavanjem amperaže, što bi opet dovelo do pogreške u rezultatima, kako ćemo to još pokazati.

Do zaključka da mjerimo  $D_{\mu}$  kod visine od 20 cm., dolazimo i iz grafikona na slikama 9 i 10, gdje smo nanijeli mjerenu gustoću zacrnjenja pojedinih polja klina u ovisnosti sa udaljenosću fotoelementa od mjerenuog sloja. Iz ovih grafikona lijepe se vidi, da razlika između vrijednosti  $D_{\mu}$  i  $D_{\mu'}$  postaje to veća i očiglednija što je gustoća zacrnjenja polja klina veća. To ujedno znači, da Callier-ov kvocijent, a time i zrnatost postaju veći kod većih zacrnjenja.

Iza mjerena, kojima smo ustanovili potrebnu udaljenost fotoelementa od mjerenuog sloja, ispitali smo još, kako utječu promjene intenziteta svjetla na mjerene veličine gustoća zacrnjenja. To smo postigli tako, da smo mijenjali voltaž akumulatorske baterije, a time i amperažu žarulje ultrafota. Kao sloj za mjerjenje uzeli smo opet stepenasti sivi klin od Agfa Isopan F (razvijan 12 min). Mjerena izvršili smo kod 6,0, 6,3, 6,6, 7,0 i 7,2 ampera. Na grafikonu na slici 11 naneseni su rezultati mjerena kod 6,0 A, 6,6 A i 7,2 A, a na tabeli 3 dajemo vrijednosti Callier-ovog kvocijenta i zrnatosti.



Sl. 7. Ovisnost Callier-ovog kvocijenta (Q) o udaljenosti fotoelementa od mjerenog sloja.  
Abb. 7. Werte des Callier-Quotienten in Abhängigkeit von der Entfernung des Photoelements von der Negativschicht.

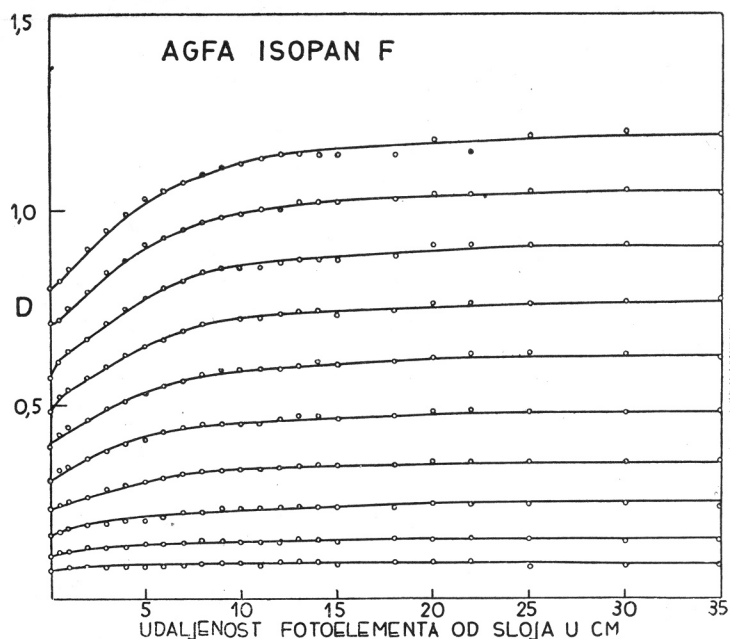


Sl. 8. Opis slike je isti kao i kod sl. 7.  
Abb. 8. Die Bildunterschriftung ist dieselbe wie bei Abb. 7.

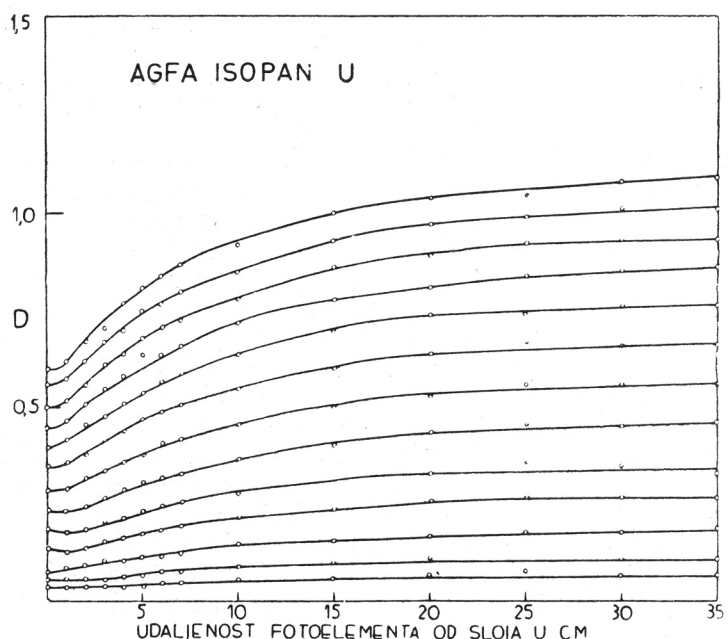
T a b e l a 3.

A	Q	K
6,0	1,66	22,01
6,6	1,71	23,30
7,2	1,76	24,55

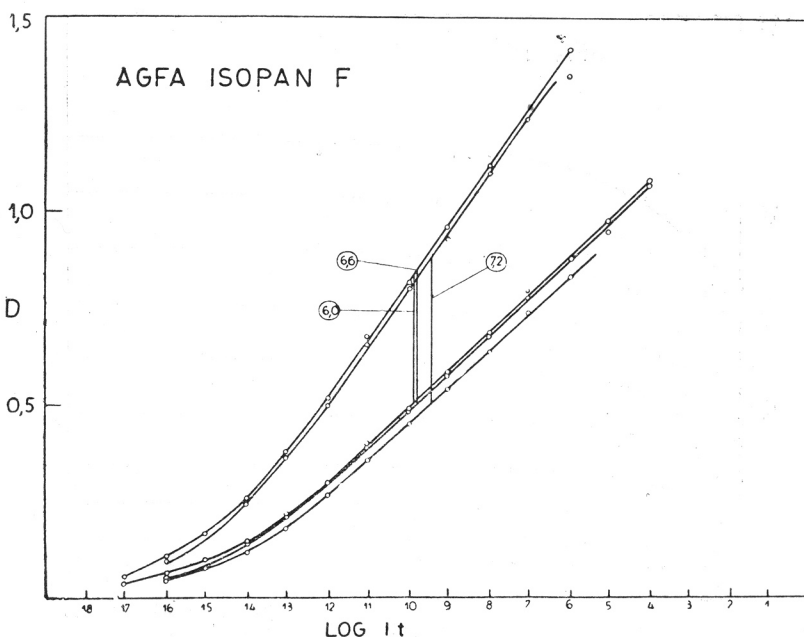
Iz tih podataka se vidi, da promjena intenziteta svijetla odnosno jakosti struje (A), utječe na rezultate mjerenja. Te promjene nisu velike



Sl. 9. Ovisnost vrijednosti gustoća zacrnjenja ( $D$ ) o udaljenosti fotoelementa od mjerenog sloja.  
 Abb. 9. Werte der Schwärzungsdichte ( $D$ ) in Abhängigkeit von der Entfernung des Photoelements von der Negativschicht.



Sl. 10. Opis slike isti kao i kod sl. 9.  
 Abb. 10. Die Bildunterschriftung ist dieselbe wie bei Abb. 9.

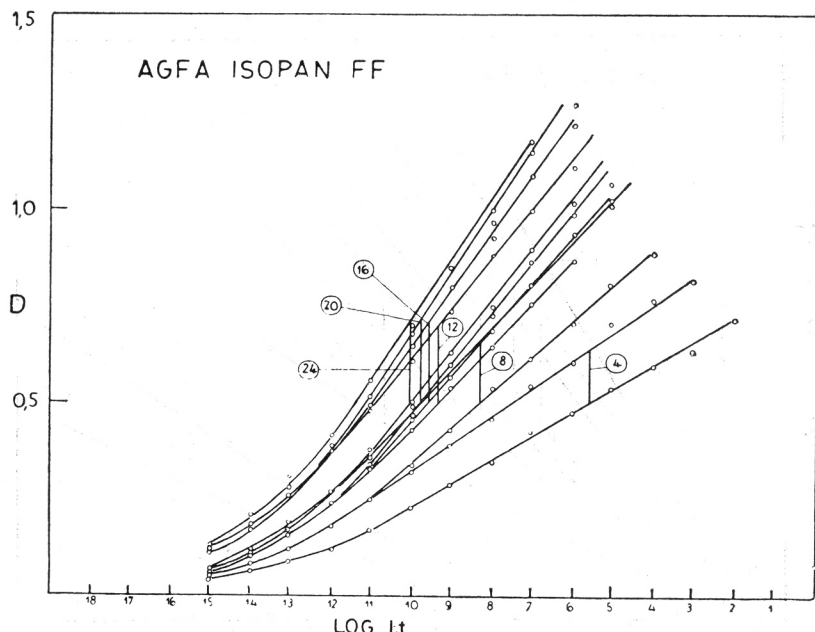


Sl. 11. Krivulje zacrnjenja stepenastog sivog klina Agfa Isopan F (razvijan 12 min.), dobivene mjerjenjem gustoće zacrnjenja uz razne intenzitete svjetla. Brojevi uz krivulje pokazuju amperažu žarulje ultrafot-mikroskopa za vrijeme mjerjenja.

Abb. 11. Schwärzungskurven eines grauen Stufenkeiles auf Agfa Isopan F-Material (entwickelt 12 Min.), die durch Schwärzungsmessungen bei verschiedenen Lichtintensitäten erhalten wurden. Die Zahlen der Kurven geben die Stromstärken der Glühlampe in Ampere, während der Messung an.

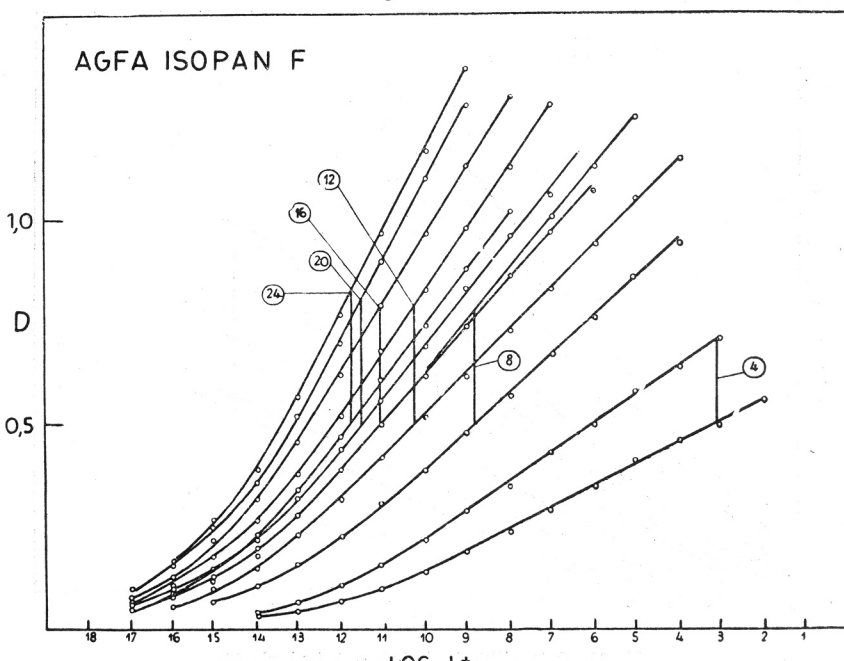
tako dolazi do malih promjena jakosti struje. Promjena te jakosti za  $0,2 \text{ A}$  ne povlači za sobom velikih grešaka u rezultatima, budući da se to kod mjerjenja gustoće zacrnjenja očituje u drugoj decimali za  $\pm 1$ .

Nakon što smo ispitivali uvjete mjerjenja na našem granulometru, prešli smo na mjerjenja zrnatosti već prije spomenutog negativnog materijala. Kao što smo spomenuli, od svakog pojedinog materijala dobili smo po 6 klinova, koji su bili razvijani 4, 8, 12, 16, 20 i 24 min. Od svakog pojedinog klina mjerene su gustoće zacrnjenja u difuznom i paralelnom svjetlu. Sva mjerena izvršena su kod jakosti struje od  $6,2 \text{ A}$ . Gustoće zacrnjenja su se uvijek mjerile iznad mrene. Od dobivenih podataka fotometriranja konstruirane su krivulje gustoće zacrnjenja. U biti zapravo ne bi bilo potrebno fotometrirati cijeli klin, već samo nekoliko polja u blizini gustoće zacrnjenja  $0,5$ , obzirom na to što se Callier-ov kvocijent mjeri kod gustoće zacrnjenja  $D_{+} = 0,5$ . Ako bi se postupilo na taj način, postajala bi veća mogućnost, da povučena krivulja ne odgovara u potpunosti krivulji gustoće zacrnjenja toga materijala, što bi svakako dovelo do pogreške u rezultatima. Iz dobivenih vrijednosti fotometriranja konstruirane su krivulje gustoće zacrnjenja, grafički je izmjerena veličina gustoće zacrnjenja  $D_{\infty}$ , koja odgovara gustoći zacrnjenja  $D_{+} = 0,5$  (grafikon na slikama 12, 13, 14 i 15). U tabeli 4 dajemo vrijednosti mjerjenja Callier-ovog kvocijenta, zrnatosti srednjeg promjera zrna i broja zrna na  $1 \text{ cm}^2$  sloja.

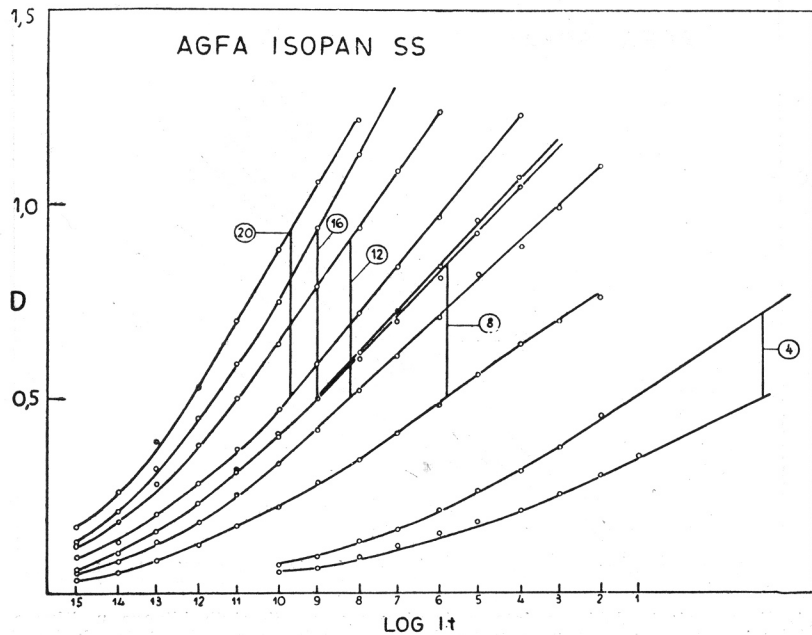


Sl. 12. Krivulje zacrnjenja dobivene fotometriranjem stepenastih sivih klinova u difuzno raspršenom svijetlu i paralelnom svijetlu. Okomice, koje spajaju krivulje za  $D_{\infty}$  i  $D_{\#}$  kod vrijednosti  $D_{\#} = 0,5$ , obilježene su brojevima, koji pokazuju vremena razvijanja u minutama fotometriranog sivog klinova.

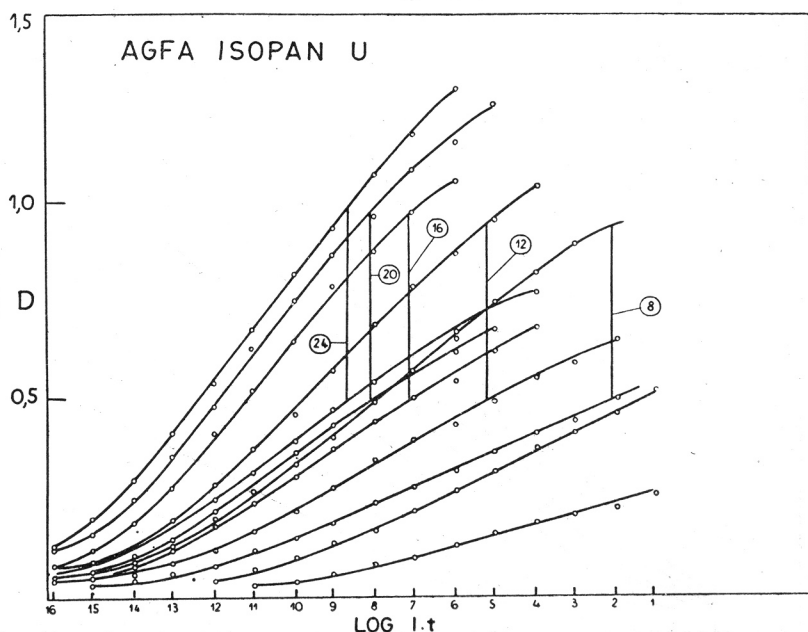
Abb. 12. Schwärzungskurven die durch Photometrierung der Graukeile im diffus-zerstreuten, sowie am parallelen Licht erhalten wurden. Die senkrechten Geraden, die die Kurven für  $D_{\infty}$  und  $D_{\#}$  bei der Werten  $D_{\#} = 0,5$  verbinden, sind mit Zahlen bezeichnet, die die Entwicklungszeit in Minuten angeben.



Sl. 13. Opis slike je isti kao i kod sl. 12.  
Abb. 13. Die Bildunterschriftung ist dieselbe wie bei Abb. 12.



Sl. 14. Opis slike je isti kao i kod sl. 12.  
Abb. 14. Die Bildunterschriftung ist dieselbe wie bei Abb. 12.



Sl. 15. Opis slike je isti kao i kod sl. 12.  
Abb. 15. Die Bildunterschriftung ist dieselbe wie bei Abb. 12.

T a b e l a 4.

Agfa Isopan FF					
4	8	12	16	20	24
Q 1,28	1,32	1,40	1,42	1,44	1,42
K 10,72	12,06	14,61	15,23	15,84	15,23
d 0,33	0,40	0,53	0,56	0,60	0,56
z $1,115 \cdot 10^9$	$1,907 \cdot 10^9$	$4,325 \cdot 10^8$	$3,874 \cdot 10^8$	$3,374 \cdot 10^8$	$3,874 \cdot 10^8$

Agfa Isopan F					
4	8	12	16	20	24
Q 1,40	1,54	1,58	1,58	1,60	1,64
K 14,61	18,75	19,87	19,87	20,41	21,48
d 0,53	0,75	0,80	0,80	0,83	0,89
z $4,325 \cdot 10^8$	$2,160 \cdot 10^8$	$1,898 \cdot 10^8$	$1,898 \cdot 10^8$	$1,763 \cdot 10^8$	$1,533 \cdot 10^8$

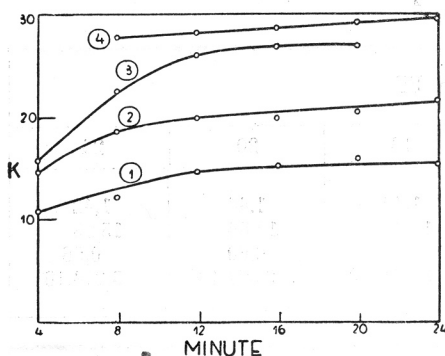
Agfa Isopan SS					
4	8	12	16	20	24
Q 1,44	1,68	1,82	1,86	1,86	
K 15,84	22,53	26,01	26,95	26,95	
d 0,60	0,94	1,12	1,17	1,17	
z $3,374 \cdot 10^8$	$1,375 \cdot 10^8$	$9,636 \cdot 10^7$	$8,876 \cdot 10^7$	$8,876 \cdot 10^7$	

Agfa Isopan U					
4	8	12	16	20	24
Q 1,90	1,92	1,94	1,96	1,98	
K 27,88	28,33	28,78	29,23	29,67	
d 1,22	1,24	1,27	1,29	1,31	
z $8,163 \cdot 10^7$	$7,902 \cdot 10^7$	$7,533 \cdot 10^7$	$7,301 \cdot 10^7$	$7,080 \cdot 10^7$	

Prema podacima iz tabele 4 konstruirali smo 3 grafikona: prvi prikazuje ovisnost zrnatosti o vremenu razvijanja (slika 16), drugi ovisnost srednjeg promjera zrna o vremenu razvijanja (slika 17), a treći odnos zrnatosti o fotografskoj osjetljivosti upotrebljenog negativ materijala (slika 18).

Iz grafikona na slikama 16 i 17 očito se vidi, da vrijednosti zrnatosti i srednjeg promjera zrna kod sva četiri materijala rastu sa vremenom razvijanja, i da materijali sa većom fotografskom osjetljivošću imaju i veće vrijednosti zrnatosti i srednjeg promjera zrna.

Iz grafikona na slikama 16 i 18 vidimo da postoji ovisnost zrnatosti o veličini osjetljivosti fotomaterijala. Porastom osjetljivosti redovito raste

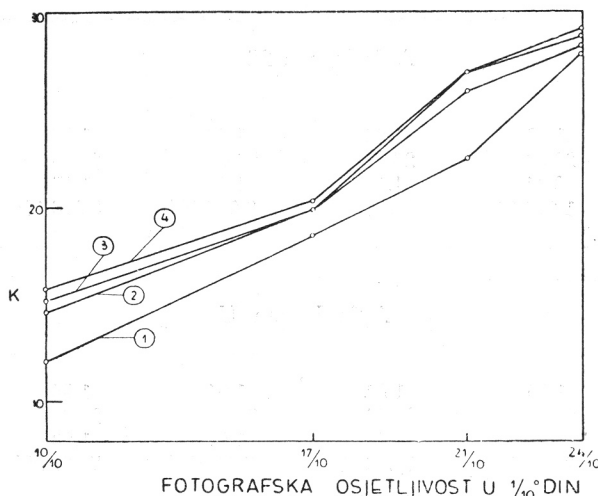


Sl. 16. Ovisnost zrnatosti o vremenu razvijanja. Ordinata: Vrijednost zrnatosti (K). Apscisa: Vrijeme razvijanja u minutama. Krivulja 1. odnosi se na Agfa Isopan FF, krivulja 2. na Isopan F, krivulja 3. na Isopan SS, krivulja 4. na Isopan U.

Abb. 16. Werte der Körnung als Funktion der Entwicklungszeit. Ordinate: Werte der Körnung (K). Apscisse: Entwicklungszeit in Minuten. Kurve 1. bezieht sich auf Agfa Isopan FF-Material, Kurve 2. auf Isopan F, Kurve 3. auf Isopan SS und Kurve 4. auf Isopan U.

Sl. 17. Ovisnost srednjeg promjera zrna o vremenu razvijanja. Ordinata: Srednji promjer zrna, izražen u mikronima. Apscisa: Vrijeme razvijanja u minutama. Oznake krivulja su iste kao i na sl. 16.

Abb. 17. Der mittlere Durchmesser der Körper als Funktion der Entwicklungszeit. Ordinate: Mittlerer Durchmesser der Körner in Mikronen. Bezeichnung der Kurven wie bei Abb. 16.



Sl. 18. Ovisnost zrnatosti o fotografskoj osjetljivosti. Brojevi na linijama odnose se na jednakov vrijeme razvijanja, i to 1. na 8 min, 2. na 12 min, 3. na 16 min i 4. na 20 min.

Abb. 18. Die Körnung in Abhängigkeit von der photographischen Empfindlichkeit. Die Zahlen der Kurven beziehen sich auf gleiche Entwicklungszeiten, und zwar 1. auf 8 Min., 2. auf 12 Min., 3. auf 16 Min. und 4. auf 20 Min.

i zrnatost, no povezanost tih veličina sigurno je ovisna o velikom broju različitih faktora. Grafikon na slici 18 nam kaže, da su zakonitosti tog odnosa sigurno veoma zamršene.

#### ZAKLJUČAK

Upotreboom »Ultrafot« kamera-mikroskopa i odgovarajućeg fotoelektričkog uređaja konstruirana je aparatura za mjerjenje vizuelne zrnatosti na temelju određivanja Callier-ovog kvocijenta. Mjerenjima tog kvocijenta

u ovisnostima o pokusnim uvjetima ustanovljena je točna metodika rada ove aparature.

Opisanom aparaturom izvršena su određivanja zrnatosti za 4 negativ materijala različitih fotografskih osjetljivosti, a dobiveni rezultati su upotrebljeni kao ilustracija ispravnosti rada.

### LITERATURA

1. Eggert, J. i Küster, A., Kinotechn., 16 (1934) 127; Veröffentl. wiss. Zentrallab. Agfa, 4 (1935) 49.
2. Frieser, H., Fortschritte d. Photogr., II, Leipzig 1940, str. 277; III. str. 73.
3. Küster, A., Veröffentl. wiss. Zentrallab. Agfa, 3 (1933) 93.
4. Mees, C. E. K., The Theory of the Photogr. Process, New-York 1946, str. 638, 838.
5. Meidinger, W. Die theoret. Grundlagen d. Photogr. Prozesse, (A. Hay, Handbuch d. wissen. angew. Photogr., sv. V.) Wien, 1932, str. 66, 153.

TVORNICA »FOTOKEMIKA«  
ODJEL ZA ISTRAŽIVANJE  
ZAGREB

Primljeno 26. ožujka 1952.

### ZUSAMMENFASSUNG

#### Die Bestimmung der Körnigkeit photographischer Schichten

I. BROZ und K. WEBER

Es wurde der Begriff der Körnigkeit entwickelter photographischer Schichten und seine Beziehungen zum »Korn« unentwickelter Schichten dargelegt. Das Verhältnis der photographischen Dichte im parallel-gerichteten Lichte ( $D_{\parallel}$ ) zur Dichte im diffusen Licht ( $D_{\perp\perp}$ ) ergibt den Callier-Quotienten (Gleichung 1), der besonders auf Grund der Arbeiten von J. Eggert und A. Küster, als Mass der Körnigkeit der Schicht ( $K$ ) dienen kann (Gleichung 2). Bestimmt man die Körnigkeit mit Hilfe des Callier-Quotienten, so ist es auch möglich den Durchmesser ( $d$ ) des entwickelten Kornes, sowie auch die Anzahl der Körner ( $z$ ) je Flächeneinheit zu berechnen (Gleichungen 3 und 4). Es ist üblich zwischen photoelektrischer (infraroter) und visueller Körnigkeit zu unterscheiden, und die verschiedenen Zahlenwerte dieser Größen können durch einfache Beziehungen dargestellt werden (Gleichungen 5 und 6).

Es wurde ein photoelektrisches Granulometer mit einem Selen-Sperrschiichtphotoelement und bei Verwendung der optischen Einrichtung des Zeiss'schen »Ultraphot«-Kameramikroskopies konstruiert (Abbildungen 3, 4). Mit diesem Apparat werden visuelle Körnigkeiten ( $K_v$ ) gemessen, weil die spektrale Empfindlichkeit des Photoelementes fast genau der Augenempfindlichkeitskurve entspricht. Die Arbeitsweise und die optimalen Versuchsbedingungen des Granulometers wurden festgelegt.

Für vier Negativfilme verschiedener photographischer Empfindlichkeit wurden, bei Änderung der photographischen Bearbeitung des Materials, die Körnigkeiten bestimmt, und die Bedeutung der Resultate, sowie die Zusammenhänge die zwischen denselben bestehen, besprochen.

PHOTOFABRIK »FOTOKEMIKA«  
FORSCHUNGSABTEILUNG  
ZAGREB (KROATIEN)

Eingegangen am 26. März 1952.